

УДК 553.22/23:550.89:549.07

ЭКСПЕРИМЕНТАЛЬНОЕ И ТЕОРЕТИЧЕСКОЕ МОДЕЛИРОВАНИЕ
БИМЕТАСОМАТИЧЕСКОЙ ЗОНАЛЬНОСТИ
НА КОНТАКТЕ КАЛЬЦИТА И СЕРПЕНТИНА
В УСЛОВИЯХ МЕТАМОРФИЗМА ПОРОД
ПРИ $T = 500^{\circ}\text{C}$ И $P = 200$ МПа

© 2002 г. Г. Ю. Шведенков, Н. А. Брыксина, академик В. В. Ревердатто

Поступило 01.07.2002 г.

Мы продолжили исследования по моделированию диффузионной метасоматической зональности в системе $\text{CaO}-\text{MgO}-\text{SiO}_2-\text{CO}_2-\text{H}_2\text{O}$ для условий, приближающихся к таковым в природе. Ранее нами была выполнена серия экспериментов для воспроизведения биметасоматической зональности на контакте кварца и доломита с целью определения реальных коэффициентов диффузии Ca и Mg в малопроницаемых горных породах [1]. В данном сообщении мы представляем результаты экспериментального и теоретического моделирования зональности в образце породы (офильтрите) на контакте кальцита и серпентина.

Эксперименты выполнены с использованием специальной установки, описанной ранее [1]. Чтобы обеспечить только диффузионный массоперенос, цилиндры породы, выпиленные поперек контакта кальцита с серпентином, диаметром 5 мм и высотой 8 мм опрессовывались в заваренной золотой ампуле под давлением 400 атм; после этого ампула прокалывалась и заваривалась в платиновую – большего диаметра, в которую добавлялись оксалат серебра и вода, чтобы создать водно-углекислый флюид. Длительность экспериментов при $T = 500^{\circ}\text{C}$ и $P_{\text{общ}} = 200$ МПа составляла 124 суток. Летучесть кислорода контролировалась никель-бунзенитовым буфером. Условия эксперимента позволили сохранить текстуру и структуру консолидированных образцов с возникшей метасоматической зональностью. Исходные мольные доли диокси углерода во флюиде, равные 0.2 и 0.4 в разных экспериментах, уменьшились соответственно до величин 10^{-3} и 0.02 из-за значительного количества воды, выделившейся при дегидратации

серпентина. При этом влияния X_{CO_2} на результаты эксперимента не обнаружено. Минеральная зональность исследовалась с помощью электронной сканирующей микроскопии, рентгеновского фазового анализа и микрозонда. Было установлено, что в ходе эксперимента между кальцитом (C) и серпентином (S) возникли две зоны: диопсидовая (D) и диопсид-форстеритовая (D + F). Ширина этих зон соответственно составила 600 и 800 ± 20 мкм.

Теоретический анализ зональности возможен на базе термодинамики необратимых процессов в рамках модели диффузионного метасоматоза Коржинского–Фишера–Джостена [2–5]. Существенное развитие этой модели сделано в работах [6–15]. Новообразованные фазы на контакте реагирующих сред должны образовывать одно- или двухслойные минеральные последовательности. Для трехкомпонентной системы $\text{CaO}(\text{c})-\text{MgO}(\text{m})-\text{SiO}_2(\text{s})$, содержащей две новообразованные фазы и состоящей из одного или двух слоев, возможны следующие сочетания [6, 11]:



Выберем из них единственную последовательность, отвечающую экстремальному принципу [6, 11].

Химический состав минералов выражается через химический состав реагирующих веществ по формуле

$$A = N^T a,$$

где $A = \{\text{C}, \text{D}, \text{F}, \text{S}\}$, $a = \{\text{c}, \text{m}, \text{s}\}$,

$$N = \begin{pmatrix} C & D & F & S \\ \hline 1 & 1 & 0 & 0 \\ 0 & 1 & 2 & 3 \\ 0 & 2 & 1 & 2 \end{pmatrix}.$$

Стехиометрические коэффициенты одной независимой реакции равны

$$M = \{-1, 1, 4, -3\},$$

т.е. $1C + 3S = 1D + 4F$.

Рассмотрим ассоциацию $C \parallel D \parallel F \parallel S$ и пронумеруем границы слева направо. Обозначим через V_{ki} – скорость образования i -го минерала на k -й границе. Согласно теории, изложенной в [6, 11], скорости образования минералов C, D, F и S будут равны:

$$V_{1C} = -1, \quad V_{1D} = \frac{\frac{1}{L_c}}{\frac{1}{L_c} + \frac{1}{L_m} + 4},$$

$$V_{2D} = \frac{\frac{1}{L_m} + 4}{\frac{1}{L_c} + \frac{1}{L_m} + 4},$$

$$V_{2F} = -\frac{2\left(\frac{1}{L_m} + 1\right)}{\frac{4}{L_m} + 1}, \quad V_{3F} = \frac{6\left(\frac{3}{L_m} + 1\right)}{\frac{4}{L_m} + 1}, \quad V_{3S} = -3.$$

где $L_c = \frac{L_{\text{CaOCaO}}}{L_{\text{SiO}_2\text{SiO}_2}}$, $L_m = \frac{L_{\text{MgOMgO}}}{L_{\text{SiO}_2\text{SiO}_2}}$, а $L_{\text{CaOCaO}}, L_{\text{MgOMgO}}$, $L_{\text{SiO}_2\text{SiO}_2}$ – коэффициенты Онсагера. Исходя из полученных скоростей, заключаем, что первый слой в рассматриваемой зональности растет на обеих границах, а второй слой растет только справа, а слева – утоняется (“тает”). Проверка условия существования первого и второго слоев [6, 11] дает, что данная ассоциация существует во всей области параметров L_c и L_m . По критерию термодинамической устойчивости [6], свободная энергия (G_{ik}) i -го минерала, присутствующего в k -м слое, должна быть меньше или равна свободной энергии этого минерала (G_{ij}) в равновесном флюиде:

$$G_{ik} \leq G_{if} = N^T \bar{\mu}_k,$$

то есть

$$\frac{dG_{if}}{dx} \geq 0,$$

где x – координата поперек зональности. Другими словами, это означает, что функция $N^T \bar{\mu}_k$ не должна убывать по направлению от слоя, не содержащего i -й минерал, к слою, содержащему i -й минерал. Проведенные численные расчеты этой функции по всем минералам показали, что для такой зональности критерий устойчивости не выполняется.

Рассматривая ассоциацию $C \parallel D \parallel F \parallel S$, получили следующие выражения для скоростей образования минералов на первой и второй границах:

$$V_{1C} = -1, \quad V_{1D} = \frac{\frac{1}{L_c} \left(\frac{4}{L_m} + 1 \right)}{\frac{4}{L_c L_m} + \frac{1}{L_c} + \frac{9}{L_m}},$$

$$V_{1F} = -\frac{\frac{2}{L_c} \left(\frac{1}{L_m} + 1 \right)}{\frac{4}{L_c L_m} + \frac{1}{L_c} + \frac{9}{L_m}},$$

$$V_{2D} = \frac{\frac{9}{L_m}}{\frac{4}{L_c L_m} + \frac{1}{L_c} + \frac{9}{L_m}},$$

$$V_{2F} = \frac{6 \left(\frac{3}{L_c L_m} + \frac{1}{L_c} + \frac{6}{L_m} \right)}{\frac{4}{L_c L_m} + \frac{1}{L_c} + \frac{9}{L_m}}, \quad V_{1S} = -3.$$

При любых значениях коэффициентов Онсагера $V_{1D} > 0$, а $V_{1F} < 0$. Поскольку скорости образования двух минералов на одной границе не могут быть разных знаков, то данную ассоциацию надо исключить из рассмотрения. Аналогичной проверке были подвергнуты последовательности

$$C \parallel F \parallel D + F \parallel S, \quad C \parallel D + F \parallel F \parallel S,$$

$$C \parallel F \parallel D \parallel S, \quad C \parallel D + F \parallel D \parallel S.$$

Все они также были отвергнуты из-за нарушения необходимых условий существования зональности [6].

Исследуем последовательности слоев $C \parallel D \parallel D + F \parallel S$. Обозначая через $W_{ki}^{\text{лев}}$ скорость образования i -го минерала на левой границе k -го слоя, а через $W_{ki}^{\text{прав}}$ – скорость образования i -го минерала

на правой границе k -го слоя, получаем для них выражения

$$W_{1D}^{\text{лев}} = \frac{\frac{1}{L_c}}{\frac{1}{L_c} + \frac{1}{L_m} + 4},$$

$$W_{1D}^{\text{np}} =$$

$$= \frac{\frac{1}{L_c} \left(\frac{1}{L_m} + 1 \right) \left(\frac{12}{L_m^2 L_c} + \frac{19}{L_m L_c} + \frac{27}{L_m^2} + \frac{36}{L_m} + \frac{4}{L_c} \right)}{\left(\frac{4}{L_c L_m} + \frac{1}{L_c} + \frac{9}{L_m} \right) \left(\frac{1}{L_c} + \frac{1}{L_m} + 4 \right) \left(\frac{3}{L_c L_m} + \frac{1}{L_c} + \frac{6}{L_m} \right)},$$

$$W_{2D}^{\text{лев}} = -\frac{\frac{3}{L_c L_m} \left(\frac{1}{L_m} + 1 \right)}{\left(\frac{4}{L_c L_m} + \frac{1}{L_c} + \frac{9}{L_m} \right) \left(\frac{3}{L_c L_m} + \frac{1}{L_c} + \frac{6}{L_m} \right)},$$

$$W_{2F}^{\text{лев}} = -\frac{\frac{2}{L_c} \left(\frac{1}{L_m} + 1 \right)}{\left(\frac{4}{L_c L_m} + \frac{1}{L_c} + \frac{9}{L_m} \right)},$$

$$W_{2D}^{\text{np}} = \frac{\frac{9}{L_m}}{\left(\frac{4}{L_c L_m} + \frac{1}{L_c} + \frac{9}{L_m} \right)},$$

$$W_{2F}^{\text{np}} = \frac{6 \left(\frac{3}{L_m L_c} + \frac{6}{L_m} + \frac{1}{L_c} \right)}{\left(\frac{4}{L_c L_m} + \frac{1}{L_c} + \frac{9}{L_m} \right)}.$$

Поскольку $W_{ki}^{\text{лев, np}}$ — одного знака для любого k , и скорости образования первого и второго слоя не отрицательны, то все необходимые условия для существования этой последовательности выполнены при любых значениях параметров Онсагера. Кроме того, для этой последовательности выполнен также и критерий устойчивости [6, 11]. Из табл. 1, где приведены результаты расчетов функции G'_{if} для $L_c = 1$ и $L_m = 1$, видно, что функция $N^T \bar{\mu}_k$ не убывает по направлению от слоя, не содержащего i -й минерал, к слою, содержащему i -й минерал, т.е. последовательность $C \parallel D \parallel D + F \parallel S$

Таблица 1. Значения dG'_{if}/dx для последовательности слоев $C \parallel D \parallel D + F \parallel S$ при $L_s = L_m = L_c = 1$

C	D	F	S	k
-0.833	0	0.667	1.167	1
-0.643	0	0	0.214	2

Примечание. Здесь и в табл. 2: G_{if} — свободная энергия i -го минерала ($i = C, D, F, S$) во флюиде; x — координата вкрест зональности, k — номер слоя.

Таблица 2. Значения dG'_{if}/dx для последовательности слоев $C \parallel D \parallel F \parallel S$ при $L_s = L_m = L_c = 1$

C	D	F	S	k
-0.833	0	0.667	1.167	1
0	1.8	0	0.6	2

термодинамически устойчива во всем интервале величин коэффициентов Онсагера. В табл. 2 для сравнения приведены аналогичные расчеты для последовательности $C \parallel D \parallel F \parallel S$, которые свидетельствуют, что критерий устойчивости здесь нарушен.

Итак, из возможных последовательностей, существующих при любых значениях коэффициентов Онсагера, критерию стабильности, описанному в работах [6, 11], удовлетворяет только одна: $C \parallel D \parallel D + F \parallel S$; именно она получена экспериментально.

Касаясь результатов экспериментов, отметим, что на границе кальцита и диопсида, т.е. на фронте реакции с выделением углекислого флюида, имеется явное разуплотнение вещества. Здесь возникают веретеновидные трещинки (по-видимому, как следствие концентрации дефектов и дислокаций в кристаллах), где растут более крупные зерна диопсида. Тем не менее использование рентгеновского дифрактометра фирмы “Bruker D8 GADDS” для сканирования поверхности образца (по площади диаметром ~1 мм) дало возможность установить, что граница зоны (при интегрировании рефлексов с шагом 0.02° по углу отражения 2θ) определяется резко, в интервале 20 мкм (рис. 1).

Общая ширина зональности и известная длительность эксперимента позволяют оценить характеристический коэффициент диффузии $D^* = x^2/t$, где x — суммарная мощность, м, а t — время, с. Оказалось, что для MgO $D^* \approx 1.8 \cdot 10^{-13} \text{ м}^2/\text{с}$. Это

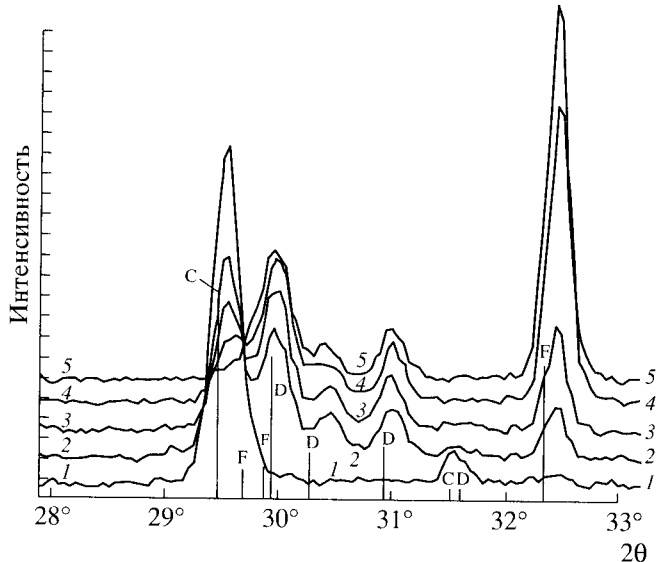


Рис. 1. Сводная рентгеновская дифрактограмма, снятая с поверхности образца после эксперимента. Местоположение центров областей съемки (фреймов): 1 – граница $D \parallel C$, 2 – 10 мкм до границы $D \parallel C$, 3 – 10 мкм после границы $D + F \parallel D$, 4 – граница $D + F \parallel D$, 5 – 10 мкм до оптической границы $D + F \parallel D$. Интенсивности – в условных единицах. Вертикальными штрихами показано положение эталонных рефлексов диопсида (D), форстерита (F) и кальцита (C). Время экспозиции одного фрейма – 200 с. Использовался $\text{Cu}K\alpha$ -антикатод. Аналитик Т.Н. Дребущак.

существенно выше, чем при воспроизведении биметасоматической зональности на контакте кварца и доломита для MgO ($D^* = 2.6\text{--}3.8 \cdot 10^{-16} \text{ м}^2/\text{с}$ [1]) с использованием той же методики и экспериментальной техники, и, по-видимому, может быть объяснено повышенной мольной долей воды в флюиде.

Единичный мольный объем (в пересчете на 24 атома кислорода) диопсида приблизительно равен $2.64 \cdot 10^{-4} \text{ м}^3 \cdot \text{моль}^{-1}$. Если допустить отсюда, что на внешней границе зональности концентрация $\text{MgO}(\Psi)$ при диффузии приближалась к таковой в диопсиде, то она, по-видимому, не превышала $0.1 \cdot 10^4 \text{ моль}/\text{м}^3$. Принимая RT (где R – газовая постоянная) при 500°C равным $6.4 \text{ кДж} \cdot \text{моль}^{-1}$ и используя соотношение $D^* = L_{ii} \cdot RT/\Psi_i$ для компонента i [5, 11, 13], представляется возможным получить верхний предел коэффициента диффузии Онсагера $L_{\text{MgOMgO}} \leq 3 \cdot 10^{-11} \text{ моль}^2 \cdot \text{м}^{-1} \cdot \text{кДж}^{-1} \cdot \text{с}^{-1}$ для условий умеренного метаморфизма. Рассуждая аналогичным образом и используя D^* для MgO при 600°C и $P_{\text{H}_2\text{O} + \text{CO}_2} = 200 \text{ МПа}$ из работы [1], получаем $L_{\text{MgOMgO}} \approx 10^{-14} \text{ моль}^2 \cdot \text{м}^{-1} \cdot \text{кДж}^{-1} \cdot \text{с}^{-1}$. Эти

оценки D^* и коэффициента диффузии Онсагера существенно больше тех, что определены для MgO посредством теоретического моделирования при образовании коронитов в гранатовых гранулитах Сибири [13]: $D^* = 5 \cdot 10^{-20}\text{--}9 \cdot 10^{-23} \text{ м}^2/\text{с}$ и $L_{ii} = 3 \cdot 10^{-17}\text{--}2 \cdot 10^{-19} \text{ моль}^2 \cdot \text{м}^{-1} \cdot \text{кДж}^{-1} \cdot \text{с}^{-1}$.

Заключение. Экспериментальные и теоретические исследования показали, что при умеренных PT -параметрах на контакте кальцита с серпентином возникает единственная диффузионно-метасоматическая зональная минеральная последовательность, отвечающая экстремальному принципу и существующая при любых значениях коэффициентов Онсагера: $S \parallel F + D \parallel D \parallel C$. С использованием известных ширины зональности и длительности эксперимента вычислен характеристический коэффициент диффузии D^* для MgO , приблизительно равный $1.8 \cdot 10^{-13} \text{ м}^2/\text{с}$, а также определен верхний предел коэффициента диффузии Онсагера $L_{\text{MgOMgO}} \leq 3 \cdot 10^{-11} \text{ моль}^2 \cdot \text{м}^{-1} \cdot \text{кДж}^{-1} \cdot \text{с}^{-1}$ для метаморфизма. Сравнение полученных результатов с оценками D^* и L_{ii} для MgO в коронитах из гранатовых гранулитов позволяет сделать вывод, что массоперенос в карбонатных породах при метаморфизме осуществлялся значительно быстрее, чем в метапелитах.

Работа выполнена при поддержке РФФИ (гранты 00-05-65428, 00-05-65386 и 02-05-64042) и Новосибирского государственного университета (грант УР 09.01.037).

СПИСОК ЛИТЕРАТУРЫ

1. Шведенков Г.Ю., Колобов В.Ю., Ревердатто В.В., Шеплев В.С. // ДАН. 1996. Т. 348. № 2. С. 240–244.
2. Коржинский Д.С. Теория метасоматической зональности. М.: Наука, 1982. 105 с.
3. Fisher G.W. // Amer. J. Sci. 1973. V. 273. P. 897–924.
4. Joesten R. // Geochim. et cosmochim. acta. 1977. V. 41. P. 649–670.
5. Joesten R., Fisher G. // Geol. Soc. Amer. Bull. 1988. V. 100. P. 714–732.
6. Шеплев В.С., Колобов В.Ю., Кузнецова Р.П., Ревердатто В.В. // Геология и геофизика. 1991. № 12. С. 3–17.
7. Шеплев В.С., Кузнецова Р.П., Колобов В.Ю. // Геология и геофизика. 1992. № 2. С. 84–93.
8. Шеплев В.С., Кузнецова Р.П., Колобов В.Ю. // Геология и геофизика. 1992. № 6. С. 49–57.
9. Кузнецова Р.П., Шеплев В.С., Колобов В.Ю. // Геология и геофизика. 1992. № 9. С. 52–61.

10. Кузнецова Р.П., Колобов В.Ю., Шеплев В.С. // Геология и геофизика. 1994. № 10. С. 105–115.
11. Ashworth J.R., Sheplev V.S. // Geochim. et cosmochim. acta. 1997. V. 61. P. 3671–3689.
12. Sheplev V.S., Kolobov V.Yu., Kuznetsova R.P. In: Theophrastus' Contribution to Advanced Studies in Geology. Athens: Theophrastus Publ. and Proprietary, 1998. V. 2. P. 223–247.
13. Ashworth J.R., Sheplev V.S., Bryxina N.A. et al. // J. Metamorph. Geol. 1998. V. 16. P. 231–246.
14. Шеплев В.С., Ревердамто В.В. // ДАН. 1998. Т. 361. № 3. С. 392–396.
15. Ashworth J.R., Sheplev V.S., Khlestov V.V., Ananyev V.A. // Eur. J. Miner. 2001. V.13. P. 1153–1161.